

# 量子纠缠与量子测量

黄晨

chen\_huang@hust.edu.cn

2020 年 12 月 10 日

## 1 量子比特 (Qubit) 与量子纠缠

- 量子比特 (qubit)
- 量子纠缠 (entanglement)
- 密度矩阵
- 自发参量下转换 (SPDC) 制备纠缠光子对

## 2 量子纠缠态的测量

- 光路的保偏与波片的定轴
- 最大纠缠态的制备
- 实验中的投影测量
- 密度矩阵重构

## 3 Bell 不等式的检验

- EPR 佯谬与 Bell 不等式
- 制备 Bell 态
- Bell 不等式的检验



## 1 量子比特 (Qubit) 与量子纠缠

- 量子比特 (qubit)
- 量子纠缠 (entanglement)
- 密度矩阵
- 自发参量下转换 (SPDC) 制备纠缠光子对

## 2 量子纠缠态的测量

- 光路的保偏与波片的定轴
- 最大纠缠态的制备
- 实验中的投影测量
- 密度矩阵重构

## 3 Bell 不等式的检验

- EPR 佯谬与 Bell 不等式
- 制备 Bell 态
- Bell 不等式的检验



# 量子比特 (Qubit)

我们总可以将一个量子态表示为

$$|\psi\rangle = \sum_{n=0}^{d-1} c_n |n\rangle \quad (1)$$

其中  $d$  是 Hilbert 空间维数,  $|n\rangle$  是该系统在某一表象下的本征态。当  $d = 2$  时, 我们得到的即是量子比特 (Qubit)

$$|\psi\rangle = \alpha |0\rangle + \beta |1\rangle \quad (2)$$



# 量子纠缠 (Entanglement)

考虑一个包含  $A$  和  $B$  两个量子比特的复合系统，其状态可以表示为

$$|\psi\rangle = a_{00} |00\rangle + a_{01} |01\rangle + a_{10} |10\rangle + a_{11} |11\rangle \quad (3)$$

其中  $|ij\rangle = |i\rangle \otimes |j\rangle$ 。

- 直积态

$$|\psi\rangle = |\psi\rangle_A \otimes |\psi\rangle_B \quad (4)$$

- 纠缠态 (e.g. Bell 态)

$$|\psi^-\rangle = \frac{1}{\sqrt{2}}(|01\rangle - |10\rangle) \quad (5)$$

我们可以定义诸如纠缠度 (concurrence) 来定量描述一个量子态纠缠的大小<sup>1</sup>。



<sup>1</sup>William K Wootters. "Entanglement of formation of an arbitrary state of two qubits". In: *Physical Review Letters* 80.10 (1998), 2245.

# 密度矩阵

量子纠缠的存在带来了体系信息的不完备性。借助于统计物理中系综的概念，我们可以引入“量子系综”。对于一个量子系综  $\{|\psi_i\rangle, p_i\}$ ，其概率分布完全由以下密度矩阵描述

$$\rho = \sum_i p_i |\psi_i\rangle \langle \psi_i| \quad (6)$$

对于量子比特，纠缠度 (concurrence) 定义为<sup>2</sup>

$$C = \max \left\{ 0, \sqrt{\lambda_1} - \sqrt{\lambda_2} - \sqrt{\lambda_3} - \sqrt{\lambda_4} \right\} \quad (7)$$

其中  $\lambda_1, \lambda_2, \lambda_3, \lambda_4$  是  $R$  按降序排列的本征值，即  $\lambda_1 > \lambda_2 > \lambda_3 > \lambda_4$ ， $R$  与测量基的选取无关

$$R = \rho(\sigma_y \otimes \sigma_y) \rho^T(\sigma_y \otimes \sigma_y)$$



<sup>2</sup>Daniel FV James et al. “On the measurement of qubits”. In: *Asymptotic Theory of Quantum Statistical Inference: Selected Papers*. World Scientific, 2005, pp. 509–538.

# 自发参量下转换 (SPDC) 制备纠缠光子对

在量子信息中，我们可以以单光子为载体，利用光的不同偏振态表示量子比特，比如分别用水平偏振态  $|H\rangle$  和垂直偏振态  $|V\rangle$  表示正交基矢  $|0\rangle$  和  $|1\rangle$ 。

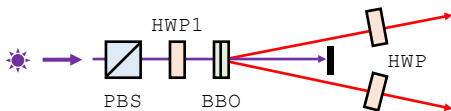


图: SPDC 过程光路示意图

利用非线性晶体 BBO 的自发参量下转换 (Spontaneous Parametric Down-Conversion, SPDC) 制备纠缠光子对<sup>3</sup>。

- $|H\rangle \rightarrow |VV\rangle$
- $|V\rangle \rightarrow |HH\rangle$



<sup>3</sup>John C Garrison and R. Y. Chiao. *Quantum optics*. Oxford University Press, 2008.

## 1 量子比特 (Qubit) 与量子纠缠

- 量子比特 (qubit)
- 量子纠缠 (entanglement)
- 密度矩阵
- 自发参量下转换 (SPDC) 制备纠缠光子对

## 2 量子纠缠态的测量

- 光路的保偏与波片的定轴
- 最大纠缠态的制备
- 实验中的投影测量
- 密度矩阵重构

## 3 Bell 不等式的检验

- EPR 佯谬与 Bell 不等式
- 制备 Bell 态
- Bell 不等式的检验





# 光路的保偏与波片的定轴

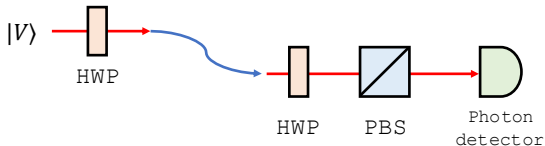


图: 光路保偏示意图

消光时, 即光子处于  $|VV\rangle$  态时 HWP 和 QWP 的角度如下表:

状态	HWP1	QWP1	HWP2	QWP2
$ VV\rangle$	$132^\circ$	$328^\circ$	$5^\circ$	$28^\circ$

在接下来调节光子偏振状态中, 我们只需要在这些角度的基础上对波片进行旋转。



# 最大纠缠态的制备

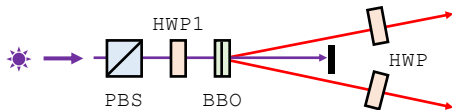


图: 参量下转换过程光路示意图

- $|H\rangle \rightarrow \eta |VV\rangle$
- $|V\rangle \rightarrow \eta' |HH\rangle$

考虑到实验中所用的激光器出射激光为水平偏振方向。它经过快轴与水平方向的夹角为  $\alpha$  的 HWP1 后得到的光子态为

$$|\psi\rangle = \begin{pmatrix} \cos(2\alpha) & \sin(2\alpha) \\ \sin(2\alpha) & -\cos(2\alpha) \end{pmatrix} |H\rangle = \cos(2\alpha) |H\rangle + \sin(2\alpha) |V\rangle \quad (9)$$

经过 BBO 后, 出射的光子态 (未归一) 为

$$|\psi\rangle = \eta' \sin(2\alpha) |HH\rangle + \eta \cos(2\alpha) |VV\rangle$$



# 最大纠缠态的制备

在实验中，我们需要制备最大纠缠态

$$|\psi\rangle = \frac{1}{\sqrt{2}} (|HH\rangle + |VV\rangle) \quad (11)$$

为了得到最大纠缠态，HWP 的角度  $\alpha$  需满足

$$\alpha = \frac{1}{2} \arctan\left(\frac{\eta}{\eta'}\right) = \frac{1}{2} \arctan\left(\frac{n}{n'}\right) \quad (12)$$

其中  $n$  是  $\alpha = 0^\circ$  时的符合计数， $n'$  是  $\alpha = 45^\circ$  时的符合计数。在实验中，我们的测量结果如下

$n$	$n'$	$\alpha$
65338	60080	$23^\circ 42' 01''$



# 实验中的投影测量

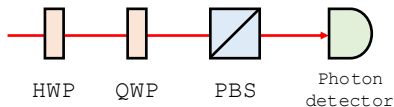


图: 测量光路示意图

假设 HWP 的快轴与水平方向夹角为  $h$  (正方向为逆时针), 那么 HWP 的 Jones 矩阵可以写为

$$U_{\text{HWP}}(h) = \begin{pmatrix} \cos(2h) & \sin(2h) \\ \sin(2h) & -\cos(2h) \end{pmatrix} \quad (13)$$

假设 QWP 的快轴与水平方向夹角为  $q$  (正方向为逆时针), 那么 QWP 的 Jones 矩阵可以写为

$$U_{\text{QWP}}(q) = \begin{pmatrix} 1 - i \cos(2q) & -i \sin(2q) \\ -i \sin(2q) & 1 + i \cos(2q) \end{pmatrix}$$



# 实验中的投影测量

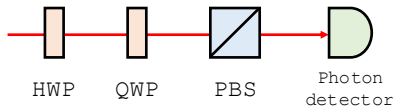


图: 测量光路示意图

则先经过 HWP, 再经过 QWP 总的 Jones 矩阵为

$$\begin{aligned} U(h, q) &= U_{\text{QWP}}(q) U_{\text{HWP}}(h) \\ &= \begin{pmatrix} \cos(2h) - i \cos(2q - 2h) & \sin(2h) + i \sin(2q - 2h) \\ \sin(2h) - i \sin(2q - 2h) & -\cos(2h) - i \cos(2q - 2h) \end{pmatrix} \end{aligned} \quad (15)$$

偏振分光棱镜 PBS 能够让水平偏振的光子几乎全部透过, 而垂直偏振的光子几乎全部反射, PBS 与单光子计数器的作用等价于测量算符

$$O = |H\rangle \langle H| = \begin{pmatrix} 1 & 0 \\ 0 & 0 \end{pmatrix}$$



# 实验中的投影测量

考虑 HWP, QWP, PBS, 单光子计数器共同作用的测量算符。对于一个量子比特  $|\psi\rangle$ , 通过 HWP, QWP 后变为  $|\psi_{\text{proj}}\rangle$ , 能够到达单光子计数器计数的概率为

$$P = \langle \psi_{\text{proj}} | O | \psi_{\text{proj}} \rangle = \langle \psi | U^\dagger O U | \psi \rangle = \langle \psi | U^\dagger | H \rangle \langle H | U | \psi \rangle \quad (17)$$

这等价于利用投影算符  $O'$  对  $|\psi\rangle$  进行投影测量

$$O' = U^\dagger | H \rangle \langle H | U \quad (18)$$

于是测量基

$$U^\dagger | H \rangle = \begin{pmatrix} \cos(2h) + i \cos(2q - 2h) \\ \sin(2h) - i \sin(2q - 2h) \end{pmatrix} \quad (19)$$



# 密度矩阵重构量

## 测量基

$$U^\dagger |H\rangle = \begin{pmatrix} \cos(2h) + i \cos(2q - 2h) \\ \sin(2h) - i \sin(2q - 2h) \end{pmatrix} \quad (20)$$

通过调整 HWP 和 QWP 的角度，我们可以选取需要的投影算符。

测量基	HWP 角度 ( $h$ )	QWP 角度 ( $q$ )
$ H\rangle$	$0^\circ$	$0^\circ$
$ V\rangle$	$45^\circ$	$0^\circ$
$ D\rangle = ( H\rangle +  V\rangle) / \sqrt{2}$	$22.5^\circ$	$0^\circ$
$ R\rangle = ( H\rangle - i V\rangle) / \sqrt{2}$	$22.5^\circ$	$45^\circ$

重构密度矩阵需要选取 16 组测量基。



# 密度矩阵重构

序号	测量基 1	测量基 2	HWP1	QWP1	HWP2	QWP2	符合计数
1	$ V\rangle$	$ V\rangle$	$45^\circ$	$0^\circ$	$45^\circ$	$0^\circ$	32108
2	$ V\rangle$	$ H\rangle$	$45^\circ$	$0^\circ$	$0^\circ$	$0^\circ$	942
3	$ H\rangle$	$ H\rangle$	$0^\circ$	$0^\circ$	$0^\circ$	$0^\circ$	31359
4	$ H\rangle$	$ V\rangle$	$0^\circ$	$0^\circ$	$45^\circ$	$0^\circ$	569
5	$ D\rangle$	$ V\rangle$	$22.5^\circ$	$0^\circ$	$45^\circ$	$0^\circ$	18713
6	$ D\rangle$	$ H\rangle$	$22.5^\circ$	$0^\circ$	$0^\circ$	$0^\circ$	12715
7	$ R\rangle$	$ H\rangle$	$22.5^\circ$	$45^\circ$	$0^\circ$	$0^\circ$	19014
8	$ R\rangle$	$ V\rangle$	$22.5^\circ$	$45^\circ$	$45^\circ$	$0^\circ$	13706
9	$ R\rangle$	$ D\rangle$	$22.5^\circ$	$45^\circ$	$22.5^\circ$	$0^\circ$	29112
10	$ R\rangle$	$ R\rangle$	$22.5^\circ$	$45^\circ$	$22.5^\circ$	$45^\circ$	17793
11	$ D\rangle$	$ R\rangle$	$22.5^\circ$	$0^\circ$	$22.5^\circ$	$45^\circ$	29387
12	$ V\rangle$	$ R\rangle$	$45^\circ$	$0^\circ$	$22.5^\circ$	$45^\circ$	12863
13	$ H\rangle$	$ R\rangle$	$0^\circ$	$0^\circ$	$22.5^\circ$	$45^\circ$	20495
14	$ H\rangle$	$ D\rangle$	$0^\circ$	$0^\circ$	$22.5^\circ$	$90^\circ$	14342
15	$ V\rangle$	$ D\rangle$	$45^\circ$	$0^\circ$	$22.5^\circ$	$90^\circ$	19092
16	$ D\rangle$	$ D\rangle$	$22.5^\circ$	$0^\circ$	$22.5^\circ$	$90^\circ$	17740





# 密度矩阵重构

根据以上数据，我们重构出纠缠量子比特的密度矩阵：

$$\begin{pmatrix} 0.483 & -0.025 - 0.070i & -0.053 - 0.044i & 0.009 - 0.393i \\ -0.025 + 0.070i & 0.009 & 0.039 + 0.015i & 0.037 + 0.041i \\ -0.053 + 0.044i & 0.039 - 0.015i & 0.014 & 0.040 + 0.056i \\ 0.009 + 0.393i & 0.037 - 0.041i & 0.040 - 0.056i & 0.494 \end{pmatrix} \quad (21)$$



# 密度矩阵重构

根据以上数据，我们重构出纠缠量子比特的密度矩阵：

$$\begin{pmatrix} 0.483 & -0.025 - 0.070i & -0.053 - 0.044i & 0.009 - 0.393i \\ -0.025 + 0.070i & 0.009 & 0.039 + 0.015i & 0.037 + 0.041i \\ -0.053 + 0.044i & 0.039 - 0.015i & 0.014 & 0.040 + 0.056i \\ 0.009 + 0.393i & 0.037 - 0.041i & 0.040 - 0.056i & 0.494 \end{pmatrix} \quad (21)$$

将结果可视化



图：实数部分



图：虚数部分



前面我们已经提及纠缠度的定义，即

$$C = \max \left\{ 0, \sqrt{\lambda_1} - \sqrt{\lambda_2} - \sqrt{\lambda_3} - \sqrt{\lambda_4} \right\} \quad (22)$$

事实上我们可以利用 QuTiP(Quantum Toolbox in Python) 包<sup>4</sup>，只需一行代码便可计算出纠缠度。结果为

$$C = 0.825364 \quad (23)$$

可见我们制备的纠缠光子对纠缠度较高。

---

<sup>4</sup>J. R Johansson, P. D Nation, and Franco Nori. “QuTiP 2: A Python framework for the dynamics of open quantum systems”. In: *Computer Physics Communications* 184.4 (2013), pp. 1234–1240.



## 1 量子比特 (Qubit) 与量子纠缠

- 量子比特 (qubit)
- 量子纠缠 (entanglement)
- 密度矩阵
- 自发参量下转换 (SPDC) 制备纠缠光子对

## 2 量子纠缠态的测量

- 光路的保偏与波片的定轴
- 最大纠缠态的制备
- 实验中的投影测量
- 密度矩阵重构

## 3 Bell 不等式的检验

- EPR 佯谬与 Bell 不等式
- 制备 Bell 态
- Bell 不等式的检验



# EPR 佯谬与 Bell 不等式

在量子力学的发展中，对量子纠缠的理解一直存在争议。其中最具代表性的就是 Einstein 等人提出的 EPR 佯谬。Einstein 论证的依据是定域实在论<sup>5</sup>

- (1) 若两次测量是类空间隔的，则这两次测量不存在因果关系。
- (2) 如果没有扰动一个系统，那么此系统的任何可观测量作为物理实在应该具有一个确定的数值。

这个论证和量子力学是相违背的。

---

<sup>5</sup> A. Einstein, B. Podolsky, and N. Rosen. “Can Quantum-Mechanical Description of Physical Reality Be Considered Complete?” *Ann. Phys.* Rev. 47 (10 1935), pp. 777–780. DOI: 10.1103/PhysRev.47.777.



# EPR 佯谬与 Bell 不等式

在量子力学的发展中，对量子纠缠的理解一直存在争议。其中最具代表性的就是 Einstein 等人提出的 EPR 佯谬。Einstein 论证的依据是定域实在论<sup>5</sup>

- (1) 若两次测量是类空间隔的，则这两次测量不存在因果关系。
- (2) 如果没有扰动一个系统，那么此系统的任何可观测量作为物理实在应该具有一个确定的数值。

这个论证和量子力学是相违背的。

考虑一个 Bell 态

$$|\psi\rangle_{AB}^- = \frac{1}{\sqrt{2}}(|0\rangle_A \otimes |1\rangle_B - |1\rangle_A \otimes |0\rangle_B) \quad (24)$$

---

<sup>5</sup> A. Einstein, B. Podolsky, and N. Rosen. "Can Quantum-Mechanical Description of Physical Reality Be Considered Complete?" *Rev. 47* (10 1935), pp. 777–780. DOI: 10.1103/PhysRev.47.777.



# EPR 佯谬与 Bell 不等式

量子力学的结果

对于单个粒子，倘若用  $\hat{n}$  方向上的 Pauli 矩阵对其进行测量，我们将得到 +1 或 -1。根据量子力学，测量结果是完全随机的，量子力学给出的期望为

$$\langle \sigma_n \rangle = \langle \psi | \sigma_n | \psi \rangle \quad (25)$$

对于量子比特系统，分别用  $\hat{n}$  和  $\hat{m}$  方向上的 Pauli 矩阵  $\sigma_n$  和  $\sigma_m$  对 A 和 B 粒子进行测量，得到的结果也是 +1 或 -1，量子力学给出的期望值为

$$\langle \sigma_n \otimes \sigma_m \rangle = \langle \psi | \sigma_n \otimes \sigma_m | \psi \rangle \quad (26)$$

特别地，对于 Bell 态

$$P(\hat{n}, \hat{m}) = \langle \sigma_n \otimes \sigma_m \rangle = -\hat{n} \cdot \hat{m}$$



# EPR 佯谬与 Bell 不等式

## 局域隐变量理论的结果

根据局域隐变量理论，对于粒子 A 和 B，实际上都存在一个确定的函数 A 和 B 给出它的状态，即

$$A(\hat{n}, \lambda) = \pm 1 \quad (28)$$

$$B(\hat{m}, \lambda) = \pm 1 \quad (29)$$

其中  $\lambda$  表示决定这对粒子状态的隐变量。对于大量粒子对 AB， $\lambda$  满足密度分布  $\rho(\lambda)$ ，对粒子对 AB 分别进行  $\vec{a}$  方向和  $\vec{b}$  方向上的测量，期望值为

$$P(\vec{a}, \vec{b}) = \int \rho(\lambda) A(\vec{a}, \lambda) B(\vec{b}, \lambda) d\lambda \quad (30)$$

特别地，根据 Bell 态的纠缠性质，测量函数 A 和 B 之间存在反对称关系

$$A(\hat{n}, \lambda) = -B(\hat{n}, \lambda) \quad (31)$$

于是 Eq.(30) 可以写成

$$P(\vec{a}, \vec{b}) = - \int \rho(\lambda) A(\vec{a}, \lambda) A(\vec{b}, \lambda) d\lambda$$





# EPR 佯谬与 Bell 不等式

局域隐变量理论的结果

考虑另一个测量方向  $\vec{c}$

$$\begin{aligned} P(\vec{a}, \vec{b}) - P(\vec{a}, \vec{c}) &= - \int \rho(\lambda) \left[ A(\vec{a}, \lambda) A(\vec{b}, \lambda) - A(\vec{a}, \lambda) A(\vec{c}, \lambda) \right] d\lambda \\ &= \int \rho(\lambda) A(\vec{a}, \lambda) A(\vec{b}, \lambda) \left[ A(\vec{b}, \lambda) A(\vec{c}, \lambda) - 1 \right] d\lambda \end{aligned} \quad (33)$$

又根据 Eq.(28), 有

$$|P(\vec{a}, \vec{b}) - P(\vec{a}, \vec{c})| \leq \int \rho(\lambda) \left| A(\vec{b}, \lambda) A(\vec{c}, \lambda) - 1 \right| d\lambda \quad (34)$$

即得到 Bell 不等式

$$1 + P(\vec{b}, \vec{c}) \geq |P(\vec{a}, \vec{b}) - P(\vec{a}, \vec{c})|$$



# EPR 佯谬与 Bell 不等式

在实验中，我们可以通过测量符合计数的方法得到  $P(\vec{a}, \vec{b})$  的测量值

$$P(\vec{a}, \vec{b}) = \frac{N_{a+b+} - N_{a+b-} - N_{a-b+} + N_{a-b-}}{N_{a+b+} + N_{a+b-} + N_{a-b+} + N_{a-b-}} \quad (36)$$

在本次实验中，我们关注的是另一种概率：

$$C(\vec{a}, \vec{b}) = \frac{N_{a+b-} + N_{a-b+}}{N_{a+b+} + N_{a+b-} + N_{a-b+} + N_{a-b-}} \quad (37)$$

它满足如下形式的 Bell 不等式

$$C(\vec{a}, \vec{b}) + C(\vec{a}, \vec{c}) + C(\vec{b}, \vec{c}) \geq 1 \quad (38)$$

然而，在量子力学中，我们总能构造出

$$C(\vec{a}, \vec{b}) + C(\vec{a}, \vec{c}) + C(\vec{b}, \vec{c}) < 1$$

即量子力学预言违反了定域实在论的结果。



# 制备 Bell 态

Bell 不等式的检验所需要的是最大纠缠态

$$|\psi^-\rangle = \frac{1}{\sqrt{2}} (|HV\rangle - |VH\rangle) \quad (40)$$

但实际上，我们通过 SPDC 所能得到的态是

$$|\psi\rangle = \frac{1}{\sqrt{2}} (|HH\rangle + e^{i\varphi} |VV\rangle) \quad (41)$$

为了得到最大纠缠态，我们需要对波片进行旋转。如图，在 Bell 不等式验证实验中，我们采用的光路与前述密度矩阵重构时的所用光路进行了一些改动。其中第一块 HWP 的作用仅仅是保偏，我们通过旋转 QWP 和后面的 HWP 来调节光子的偏振。

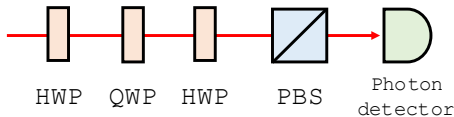


图: 测量光路示意图



# 制备 Bell 态

QWP 和 HWP 总的 Jones 矩阵为

$$\begin{aligned} U &= U_{\text{HWP}}(h)U_{\text{QWP}}(q) \\ &= \begin{pmatrix} i \cos(2h) + \cos(2q - 2h) & i \sin(2h) + \sin(2q - 2h) \\ i \cos(2h) - \sin(2q - 2h) & -i \cos(2h) + \cos(2q - 2h) \end{pmatrix} \end{aligned} \quad (42)$$



# 制备 Bell 态

QWP 和 HWP 总的 Jones 矩阵为

$$\begin{aligned} U &= U_{\text{HWP}}(h) U_{\text{QWP}}(q) \\ &= \begin{pmatrix} i \cos(2h) + \cos(2q - 2h) & i \sin(2h) + \sin(2q - 2h) \\ i \cos(2h) - \sin(2q - 2h) & -i \cos(2h) + \cos(2q - 2h) \end{pmatrix} \end{aligned} \quad (42)$$

令  $q = \pi/4$ ,  $h = \gamma/2$ , 则

$$U = U_{\text{HWP}}\left(\frac{\gamma}{2}\right) U_{\text{QWP}}\left(\frac{\pi}{4}\right) = \frac{e^{i\pi/4}}{\sqrt{2}} \begin{pmatrix} e^{-i\gamma} & -ie^{i\gamma} \\ ie^{-i\gamma} & -e^{i\gamma} \end{pmatrix} \quad (43)$$

令  $q = -\pi/4$ ,  $h = \gamma/2$ , 则

$$U = U_{\text{HWP}}\left(\frac{\gamma}{2}\right) U_{\text{QWP}}\left(-\frac{\pi}{4}\right) = \frac{e^{i\pi/4}}{\sqrt{2}} \begin{pmatrix} e^{-i\gamma} & ie^{i\gamma} \\ -ie^{-i\gamma} & -e^{i\gamma} \end{pmatrix} \quad (44)$$



# 制备 Bell 态

QWP 和 HWP 总的 Jones 矩阵为

$$U = U_{\text{HWP}}(h) U_{\text{QWP}}(q)$$
$$= \begin{pmatrix} i \cos(2h) + \cos(2q - 2h) & i \sin(2h) + \sin(2q - 2h) \\ i \cos(2h) - \sin(2q - 2h) & -i \cos(2h) + \cos(2q - 2h) \end{pmatrix} \quad (42)$$

令  $q = \pi/4$ ,  $h = \gamma/2$ , 则

$$U = U_{\text{HWP}}\left(\frac{\gamma}{2}\right) U_{\text{QWP}}\left(\frac{\pi}{4}\right) = \frac{e^{i\pi/4}}{\sqrt{2}} \begin{pmatrix} e^{-i\gamma} & -ie^{i\gamma} \\ ie^{-i\gamma} & -e^{i\gamma} \end{pmatrix} \quad (43)$$

令  $q = -\pi/4$ ,  $h = \gamma/2$ , 则

$$U = U_{\text{HWP}}\left(\frac{\gamma}{2}\right) U_{\text{QWP}}\left(-\frac{\pi}{4}\right) = \frac{e^{i\pi/4}}{\sqrt{2}} \begin{pmatrix} e^{-i\gamma} & ie^{i\gamma} \\ -ie^{-i\gamma} & -e^{i\gamma} \end{pmatrix} \quad (44)$$

若有  $\gamma_1 + \gamma_2 = -\varphi/2$ , 分别将  $U(q = \pi/4, h = \gamma_1/2)$  和  $U(q = -\pi/4, h = \gamma_2/2)$  作用在不同的光路上, 可以得到 Bell 态

$$|\psi^-\rangle = \frac{1}{\sqrt{2}} (|\text{HV}\rangle - |\text{VH}\rangle)$$



# 制备 Bell 态

波片可按下表进行旋转：

测量光路编号	QWP (rad)	HWP(rad)
1	$\frac{\pi}{4}$	$-\frac{\varphi}{8}$
2	$-\frac{\pi}{4}$	$-\frac{\varphi}{8}$

对于  $|VV\rangle$  与  $|HH\rangle$  之间的相位差  $\varphi$ ，可以通过密度矩阵矩阵元  $\rho_{14}^*$  求得。

$$\varphi = \text{angle}(\rho_{14}^*) = 89^\circ 22' 48'' \quad (46)$$

值得注意的是，在实验中，当我们用  $\varphi = 89^\circ 22' 48''$  调整波片时，并不能得到 Bell 态，原因可能来自于

- 测量密度矩阵至制备 Bell 态之间存在较长的时间差，测量环境在此过程中可能发生变化。

于是在实验中，我们放弃使用由密度矩阵得到的  $\varphi$  角，而是直接旋片，根据消光条件得到 Bell 态。



# Bell 不等式的检验

为了检验 Bell 不等式，我们可以选取  $x-z$  平面内三个测量方向

方向 $\hat{n}$	$\psi_+$	HWP 角度 $(h_+)^*$	$\psi_-$	HWP 角度 $(h_-)$
$\hat{a} = [0, 0, 1]^T$	$[1, 0]^T$	$0^\circ$	$[0, 1]^T$	$45^\circ$
$\hat{b} = [\frac{\sqrt{3}}{2}, 0, -\frac{1}{2}]^T$	$[\frac{1}{2}, \frac{\sqrt{3}}{2}]^T$	$30^\circ$	$[\frac{\sqrt{3}}{2}, -\frac{1}{2}]^T$	$-15^\circ$
$\hat{c} = [-\frac{\sqrt{3}}{2}, 0, -\frac{1}{2}]^T$	$[\frac{1}{2}, -\frac{\sqrt{3}}{2}]^T$	$-30^\circ$	$[\frac{\sqrt{3}}{2}, \frac{1}{2}]^T$	$15^\circ$

\* HWP 角度指得到 Bell 态后继续旋转的角度





# Bell 不等式的检验

基于以上测量方向，我们选取 12 组测量基并进行测量，结果如下。

序号	测量基	HWP1 角度 ( $h_1$ )	HWP2 角度 ( $h_2$ )	符合计数
1	$a_+b_+$	$0^\circ$	$-30^\circ$	18978
2	$a_+b_-$	$0^\circ$	$15^\circ$	10009
3	$a_-b_+$	$-45^\circ$	$-30^\circ$	7541
4	$a_-b_-$	$-45^\circ$	$15^\circ$	18430
5	$a_+c_+$	$0^\circ$	$30^\circ$	21394
6	$a_+c_-$	$0^\circ$	$-15^\circ$	7953
7	$a_-c_+$	$-45^\circ$	$30^\circ$	8460
8	$a_-c_-$	$-45^\circ$	$-15^\circ$	17300
9	$b_+c_+$	$-30^\circ$	$30^\circ$	20084
10	$b_+c_-$	$-30^\circ$	$-15^\circ$	7230
11	$b_-c_+$	$15^\circ$	$30^\circ$	9455
12	$b_-c_-$	$15^\circ$	$-15^\circ$	18036



# Bell 不等式的检验

根据表中的测量结果，计算得到

$$C(\vec{a}, \vec{b}) = 0.319 \quad C(\vec{a}, \vec{c}) = 0.298 \quad C(\vec{b}, \vec{c}) = 0.304 \quad (47)$$

于是

$$C(\vec{a}, \vec{b}) + C(\vec{a}, \vec{c}) + C(\vec{b}, \vec{c}) = 0.922 < 1 \quad (48)$$

验证了 Bell 不等式的违背。



# 致谢

- 感谢张少良老师的指导、实验室学长们的帮助。
- 感谢我的搭档周卓雅同学，和你的合作非常愉快。
- 特别感谢陈承渝学长的帮助。
- 感谢在场老师们和同学们的聆听。

